

전자빔 어기 KrF 및 XeCl 레이저의  
반응기구 해석

ANALYSIS OF REACTION KINETICS FOR E-BEAM EXCITED KrF AND XeCl LASERS

최 부연\*, 이주희  
(BOO-YEON CHOI\*, CHOO-HIE LEE)

정의대학교 전자공학과  
(DEPT. OF ELECTRONIC ENGINEERING, KYUNG HEE UNIV.)

### I. 서론

의가스 할라이드 계통의 레이저가 1975년 Velazco 와 Setser[1]에 의해 방사스펙트럼이 관측된 이후로, 대출력과 고효율을 목표로 하는 의가스 할라이드 계통의 엑사이머 레이저들은 자외선의 단파장 레이저(193~353nm)로서 발진 특성을 가지며 플라즈마 진단, UV Microlithography, 레이저 아닐링, 광학학 및 관성 핵융합[2] 등의 source로서 연구가 활발히 진행되어 왔다.

의가스 할라이드 계통의 레이저들의 어기방식으로는 전자빔 어기방식과 전기방전 방식으로 크게 나눌 수 있는데, 이중에서 전자빔 어기방식은 대출력, 고효율화의 면에서 다른 어기방식에 비해서 매우 큰 에너지를 큰 체적의 레이저 매질에 균일하고 효율 높게 주입할 수 있을 뿐만 아니라 레이저 퍼스의 단펄스화에 큰 장점을 가지고 있다.

본 보고에서는 전자빔 퍼스 320keV, 전류 2.5KA인 전자빔 장치를 어기원으로 사용하여 Ar/Kr/F<sub>2</sub>, Ar/Xe/HCl 혼합가스에 대한 실험적 이론적인 파라메타 해석뿐만 아니라 Ar/Kr/F<sub>2</sub> 혼합가스에서 Kr rich 효과에 대하여 컴퓨터 시뮬레이션 결과를 분석하였다.

### II. 시뮬레이션 코드

KrF, XeCl 레이저는 레이저 발진의 하위준위가 해리상태로 있으므로 1 준위 레이저로 볼 수 있으므로 모델화가 매우 용이하다. 전체 레이저 출력에너지, power 밀도 및 효율의 계산에는 0차 모델 즉, point source 모델을 사용할 수 있다.

본 시뮬레이션 코드[3]에서는 전자빔 에너지 축적의 불균일에 따른 어기밀도, 옵수 소신호 이득 불균일 또는 공진기네의 불균일 파라메타 등을 무시하고 Fabry-Perot 공진기를 가정하고 0차 모델로 시뮬레이션 코드를 구성하였다.

시뮬레이션 코드를 구성하는데 있어서 먼저 전자빔의 전압, 전류 파형으로부터 가스에 전자빔 에너지의 축적률 저지능(stopping power)을 사용하여 pumping rate를 계산하고, Johnson 과 Hunter[4]의 공식을 사용하여 Kr+, Ar+, Kr\*, Ar\* 및 2차 전자의 생성률을 결정하였다.

본 코드에서 사용한 어기반응은 전 가스압에 의존하는 반응, 온도 의존성이 큰 반응, F<sub>2</sub>의 전자 해비 부착반응 및 전자에 대한 엑사이머의 탈이기 반응이다.

마지막으로 KrF\*의 비율 방정식으로 광자의 비율 방정식을 계산하여 레이저의 출력과 효율을 계산하였다.

### III. 결과 및 검토

KrF, XeCl 는 상위준위에서 본자상태로서 수명이 10E-6 ns~10E-9 ns이고, 하위준위에서의 수명이 10E-12 ns 이므로 밀도반전이 용이하여 고효율, 대출력에 적합하며, 하위의 레이저 준위에서 매우 적은 population 을 가지고 상위의 레이저 준위에서는 여러개의 작용채널을 가지는 본자라고 할 수 있다.

레이저 매질 속에 전자빔의 에너지가 축적되면 중성입자와 이온입자를 만들어 이를에 의해 KrF\*가 생성되는데 Ar/Kr/F<sub>2</sub>의 혼합물에서 지배적인 반응은 다음과 같다.

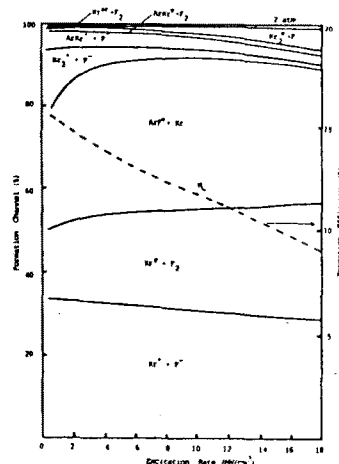
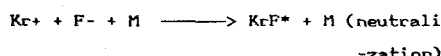
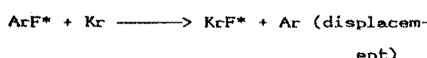


Fig.1. Percent contribution of the KrF\* formation channels and the formation efficiency as a function of excitation rate at a total pressure of 2 atm.



위의 반응기구들에 의해 KrF\*가 형성되는 것은 전자빔의 전류밀도와 관계가 깊으므로 KrF\* 형성체널과 어기율의 관계를 해석해 보면 그림.1. 과 같다.

그림.1.에서 알 수는 2 atm으로 일정하다. 주된 반응기구는 ArF\* + Kr, Kr\* + F2 및 Kr\* + F-이며 어기율이 증가함에 따라 Ar\* + Kr와 Kr\* + F2의 생성은 증가하는 반면 Kr\* + F-의 반응기구는 감소한다.

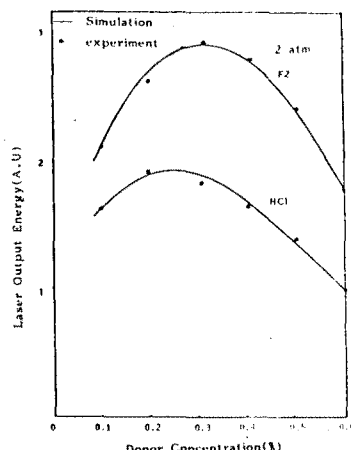


Fig.2. Laser Output Energy as a Function of Donor Concentration

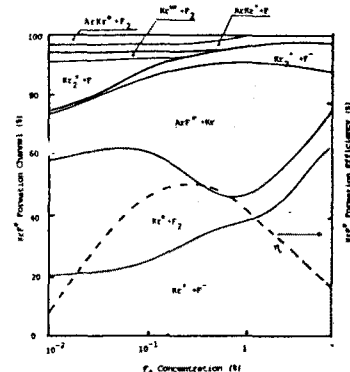


Fig.3. Percent contribution of the KrF\* formation channels as a function of initial F2 concentration at 2 atm and at an excitation rate of 6 MW/cm3.

이것은 어기율의 증가에 따른 전자의 증가와 F2의 증가에 관계가 있음을 알 수 있다.

고말로 여기의 영역에서 Kr rich의 경우 [5] Ar/Kr/F2의 혼합물에서 보다 생성효율과 추출효율이 높으므로 높은 효율이 기대된다. XeCl 레이저의 경우, XeCl\* 생성은 주로  $Xe^+ + Cl^- + Ar \longrightarrow XeCl^* + Ar$ 에 의해서 이루어지는 것을 아래의 그림.2.에서 알 수 있다.  $Xe^+$ 는 주로 charge transfer과정으로 생성되는 것으로 판단되는데 전자빔 에너지가 충분되면 diluent 가스인 Ar을 Ar+로 만들고 Ar+이 각각 Ar2+, ArXe+을 생성하여 이터한 Ar2와 ArXe+가 Xe과 반응하여 Xe+를 생성한다. 그러나 KrF 레이저의 경우와는 달리 ArCl\*에서 XeCl\*로의 displacement 반응이 있으므로 Xe rich 연구에서 높은 효율을 기대할 수 있다. 또한 역사이며 레이저에서 도우너의 영향이 크므로 도우너 농도의 측작회가 중요한 문제이다.

그러므로 본 연구에서는 F2 농도에 대한 KrF\* 생성, 탐이기, 흡수의 주된 반응기구 및 변화에 대해서 조사하여 보았다.

그림.3. 은 KrF\* 생성 반응기구를 F2 농도에 대한 변화로 표시하였다. F2 농도의 증가에 따라 F-는 증가하고 전자밀도는 감소하므로  $Kr2+ + e^- \longrightarrow Kr2^*$ 의 생성반응기구의 비율은 감소하고  $Kr^+ + F^-$ ,  $ArF^* + Kr$ 의 반응기구는 증가하고 있다.

그림.4.는 탐이기 반응기구의 F2 농도에 대한 변화를 표시한다. 전자에 의한 탐이기와 F2에 의한 탐이기의 경계는 F2의 0.2% 근처에서 교차되고 유도방출 효율 역시 이 부근에서 최대가 된다.

## IV. 결론

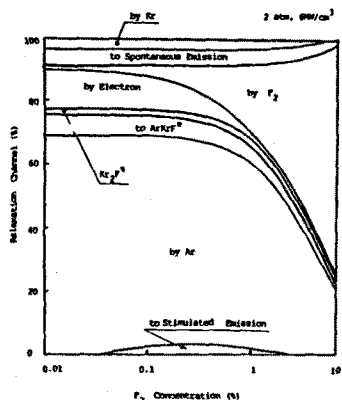


Fig.4. Percent contribution of the KrF\* relaxation channels as a function of initial F<sub>2</sub> concentration at 2 atm and 6MW/cm<sup>3</sup>.

그림.5. 은 KrF\* 레이저의 248 nm의 파장을 흡수하는 반응기구들을 나타낸다. 전자밀도가 높을 때에는 지배적인 흡수가 Kr<sup>+</sup>이지만 F<sub>2</sub> 농도가 증가함에 따라 F<sub>2</sub>에 의한 흡수는 급격히 증가하는 것을 알 수 있다. 이때 최대 흡수효율은 F<sub>2</sub> 농도 0.15 ~ 0.6 사이에 있는 것을 알 수 있다. KrF\* 생성효율의 피아크치 근처에서 레이저 공진기 내의 소신호 이득과 레이저 강도가 매우 크므로 흡수효율은 큰 값을 갖는다. 그러므로 순수효율과 흡수효율의 피아크의 위치는 큰 차이가 없다. 그래서 이론적, 실험적으로 도우니 농도를 쇠적화하여 본 결과 F<sub>2</sub> 농도 0.3% 근처에서 일치하는 것을 볼 수 있다.

단파스 전자빔으로 어기된 KrF 및 XeCl 레이저의 특성을 해석하기 위하여 컴퓨터 시뮬레이션 코드를 개발하였으며, 실험치와 비교한 결과 잘 일치하였다. 이때 가스 혼합비는 F<sub>2</sub>/Kr/Ar = 0.3/4/95.7(%), HCl/Xe/Ar = 0.2/6/93.8(%) [6]이고, 전체 압력은 2 atm이다. 그러므로 컴퓨터 시뮬레이션 코드를 이용하여 KrF 및 XeCl 레이저의 여러 반응기구와 물성적인 특성을 어기울 또는 도우니 농도의 의존성으로 상세하게 해석하므로서 레이저 장치의 규모설정에 적합한 것으로 판단된다.

\* 본 연구는 1984년 후반기 한국과학재단 연구과제 지원으로 시행되었음.

## \*\*\*\*\* 참고문헌 \*\*\*\*\*

- [1] J.E.Velazco and Setser; IEEE J.Quantum Electron. QE-11, 708 (1975)
- [2] D.D.Lowenthal et al; IEEE J.Quantum Electron. QE-17, (1981)
- [3] 최 부연: 석사학위 논문집 경희대학교 (1982)
- [4] T.H.Johnson and A.M.Hunter; J. Appl. Phys. 51(5), 2406(1980)
- [5] M.Obara, T.Fujioka, F.Kannari, and A. Suda; SPIE vol.476(1984)
- [6] 이 주의, 최 부연, 유 한웅; 제 1회 광동 및 레이저 학술 발표회 2-1(1986)

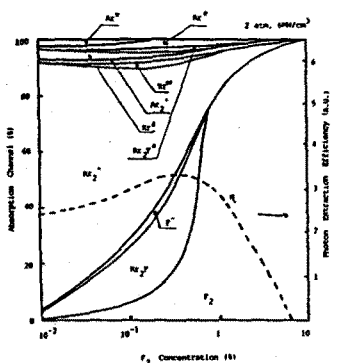


Fig.5. Percent contribution of the 248nm absorption channels and the photon extraction efficiency as a function of the initial F<sub>2</sub> concentration at 2 atm and 6MW/cm<sup>3</sup>.